

SOME EXACT SOLUTIONS OF THE PROBLEM OF THE HYPERSONIC
OR SUPERSONIC FLOW OF A GAS PAST A SLIPPING WING WITH
STALL FENCE

A. I. Golubinskiy and A. N. Ivanov

Translation of "Nekotoryye tochnyye resheniya zadachi obtekaniya
skol'zyashchego kryla s peregorodkoy sverkhzvukovym i giper-
zvukovym potokom gaza"
Izvestiya Akademii Nauk, Mekhanika Zhidkosti i Gaza,
pp. 145-149, Jan.-Feb. 1966

N67-15842

FACILITY FORM 602

(ACCESSION NUMBER)	(THRU)
10	1
(PAGES)	(CODE)
	01
(NASA CR OR TMX OR AD NUMBER)	(CATEGORY)

GPO PRICE \$ _____

CFSTI PRICE(S) \$ _____

Hard copy (HC) 2.00

Microfiche (MF) .65

ff 653 July 65

SOME EXACT SOLUTIONS OF THE PROBLEM OF THE HYPERSONIC
OR SUPERSONIC FLOW OF A GAS PAST A SLIPPING WING WITH
STALL FENCE

A. I. Golubinskiy and A. N. Ivanov

Construction of a class of three-dimensional configurations representing a combination of a slipping or delta wing and a stall fence mounted on the wing parallel to the oncoming flow. It is shown that for such configurations, exact solutions for hypersonic or supersonic flow can be obtained without recourse to the small perturbation method. A solution for the flow past two intersecting yawing wings is obtained as a special case. Flow analysis reveals strong interference at high speeds leading to much higher local pressures than in the case of an isolated wing.

Individual examples of three-dimensional bodies are known for which it is /145* possible to solve the flow problem, for example, bodies of star shaped (polygons) cross section (refs. 1, 2) or bodies of revolution (cone, ellipsoid) at an angle of attack, etc. The role of such individual solutions is significant for the clarification of characteristic properties associated with the three-dimensional flow around bodies.

The application of the hypersonic method of small perturbations (ref. 3) which reduces the problem of three-dimensional flow to the problem of the non-stationary gas flow in two dimensions, and also the utilization of one known family of exact solutions of the plane problem concerning nonstationary motion (ref. 4) make it possible to investigate the flow around a slipping wing with an end fence at hypersonic velocities in some particular cases.

The present work constructs a wider class of three-dimensional bodies of this type (the combination of a slipping or delta wing with an end fence, directed parallel to the incident flow), for which it is possible to construct simple exact solutions of the supersonic and hypersonic flow problem without applying the method of small perturbations. In a particular case these solutions are described by flow around 2 mutually intersecting slipping wings.

An example of flow around these bodies shows an interesting phenomena of strong interference at large velocities when such interference produces local pressures, which are considerable, in excess of pressures on the isolated wing.

1. Let us consider the flow over the region of a delta (or sweptback) wing similar to the one shown in figure 1 at a supersonic velocity directed towards the axis of the coordinates x .

*Numbers given in margin indicate pagination in original foreign text.

A plane fence ODF is installed at the end of the wing, which is parallel to the incident flow and inclined at an angle ξ with respect to the y axis. A profile of the wing has the shape of a wedge with an angle δ (along the normal to the leading edge). The angle of the leading edge OA with respect to the direction of the incident flow is designated by α .

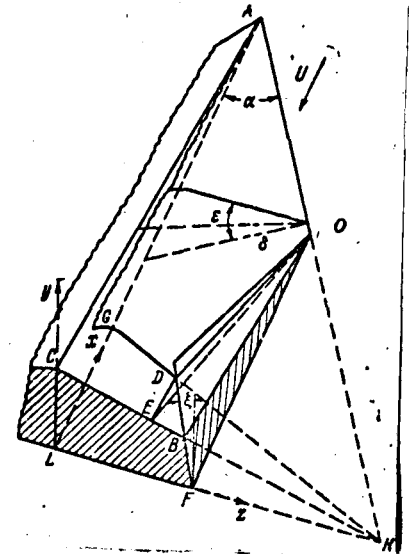


Figure 1.

We shall attempt to find those geometric relationships for the parameters α , δ , ξ and those Mach numbers of the flow for which the following simple flow picture can exist for the wing: the compression shock AOD, attached to the leading edge falls on the fence DOF and after reflection from this fence falls on the upper surface of the wing at a right angle. Then the new reflection of the shock does not occur and the entire flow picture can be computed by means of known relationships for oblique compression shocks.

We designate the normal flow component at the leading edge of the wing by

$$M_1 = M_0 \sin \alpha \quad (1.1)$$

For the compression shock which is attached to the wing, we have (ref. 5)

$$\operatorname{ctg} \delta = \left[\frac{\gamma + 1}{2} \frac{M_1^2}{M_1^2 \sin^2 \epsilon - 1} - 1 \right] \operatorname{tg} \epsilon \quad (1.2)$$

where ϵ is the angle between the attached shock and the plane xz, γ is the ratio of the specific heats of the gas.

We designate by ω_1 and ω_2 respectively the angles between the incident and the reflected shocks and the plane of the fence. It is easy to see that /146

$$\omega_1 = \arccos (\cos \epsilon \sin \xi + \sin \epsilon \cos \xi \cos \alpha) \quad (1.3)$$

The angle ω_2 is expressed in terms of ω_1 and the intensity of the incident shock η , which is equal to the ratio of the pressures p_2/p_1 at the shock, in the following manner (ref. 6):

$$\begin{aligned}
\tau_2 &= \frac{-B \pm \sqrt{B^2 - 4AC}}{2A}, \quad \tau_1 = \operatorname{ctg} \omega_1, \quad \tau_2 = \operatorname{ctg} \omega_2 \\
A &= s[(v-1)s - (v-2)](\tau_1^2 + 1) - 1, \quad v = (\gamma + 1)/(\gamma - 1) \\
B &= -(v-1)\tau_1[s^2(\tau_1^2 + 1) - 1], \quad C = v[s(\tau_1^2 + 1) - 1] \\
s &= \frac{v\eta + 1}{(v-1)(\eta-1)}, \quad \eta = \frac{2\gamma}{\gamma + 1} M_1^2 \sin^2 \varepsilon - \frac{1}{v}
\end{aligned} \tag{1.4}$$

It should be pointed out that the "plus" in front of the root in equation (1.4) corresponds to a weak reflection while a "minus" corresponds to a strong reflection. Finally from the condition that the reflected shock is not perpendicular to the upper wing surface, and also from the fact that the planes of the incident and reflected shocks belong to the same beam of planes (passing through the line OD) we obtain

$$\cos(\varepsilon - \delta) = (\tau_1 + \tau_2) \sin \omega_1 (\cos \delta \sin \xi + \sin \delta \cos \xi \cos \alpha) \tag{1.5}$$

Equations (1.2)-(1.5) give us a relationship associating 7 parameters M_0 , α , δ , ε , ξ , ω_1 , ω_2 . Therefore three parameters can be assigned independently; for example, the geometry of the body (α and δ) and the number M_0 . The fourth parameter ξ (the slope of the fence) depends on these parameters. We note that it is impossible to solve the above system of equations in an explicit form except for the case considered below in Section 3.

2. The region where the considered flows exist may be determined from the following physical considerations.

(a) The angle of the leading edge must satisfy the inequality

$$\alpha > \arcsin \frac{1}{M_0} \tag{2.1}$$

(b) The wedge angle δ must be less than some limiting value δ_* , determined from equation (1.2) when

$$\sin^2 \varepsilon_* = \frac{1}{\gamma M_1^2} \left(\frac{1}{2}(\gamma + 1) M_1^2 - 1 + \sqrt{(\gamma + 1) \left[1 + \frac{1}{2}(\gamma - 1) M_1^2 + \frac{1}{16}(\gamma + 1) M_1^4 \right]} \right) \tag{2.2}$$

(c) In order for a proper reflection to exist it is necessary that the discriminant in equation (1.4) be $B^2 - 4AC \geq 0$, which corresponds to $\omega_1 \leq \omega_{**}$, where ω_{**} depends on p_2/p_1 and γ .

(d) From our consideration we do not exclude the case of strong shock reflection although the realization of strong reflection in practice is doubted by some investigators (refs. 6 and 7).

Let us assume however that strong reflection of slipping shocks from the fence may be realized under the condition when the total velocity behind the reflected shock will be supersonic, i.e., when $M_3 > 1$.

Since it is impossible to solve the equations in explicit form, the boundaries of the existing region corresponding to conditions (c) and (d), may be found only by numerical calculations.

3. It is known that the equation (1.4) which associates the angles of incidents and reflection of the shock, has one characteristic solution when these angles are the same and when they do not depend on the ratio of pressures but are equal (ref. 6)

$$\omega_1 = \omega_2 = \omega^* = \arctg \left(\frac{\gamma+1}{3-\gamma} \right)^{1/2} \quad (3.1)$$

In this case the symmetric reflection of the pressure drop on the oblique reflected shock is the same as in the case of direct reflection and the solution depends only on two parameters because for the five unknowns (M_0 , α , δ , ϵ , ξ)

there are three equations (1.2), (1.3), (1.5). For this case it is possible to solve the system in explicit form if M_1 and ϵ are assigned as the independent

parameters. Then δ is determined from (1.2) and we also have

$$\sin \xi = \frac{\sin \epsilon \cos (\epsilon - \delta) - 1/2 (\gamma + 1) \sin \delta}{\sqrt{\gamma + 1} \sin (\epsilon - \delta)}, \quad \cos \alpha = \frac{\sqrt{\gamma + 1}}{2 \sin \epsilon \cos \xi} - \operatorname{ctg} \epsilon \operatorname{tg} \xi \quad (3.2)$$

As an illustration figure 2 presents the function $\xi = \xi(\alpha)$ for various M_0 /147 in the case when $\gamma = 1.4$ (the angles ξ , α are given in degrees).

4. The region where the solution exists in the symmetric case for the independent variables M_1 and ξ can be easily determined from conditions (a), (b),

(d) of section 2 and also from the condition

$$\epsilon \geq \arcsin \frac{1}{M_1}.$$

As a result we obtain

$$\arcsin \frac{1}{M_1} \leq \epsilon \leq \epsilon_* \quad (4.1)$$

where ϵ_* is determined by equation (2.2), and where we also have $\epsilon \geq \arctan k_+$ or $\epsilon \leq \arctan k_-$, where

$$k_{\pm} = \frac{1}{(\gamma-1)M_1^2 + 2} \left\{ \frac{(\gamma-1)}{2} \frac{\sqrt{\gamma+1}}{\sqrt{3-\gamma}} M_1^2 \pm \left[\frac{(\gamma-1)^2(\gamma+1)}{4(3-\gamma)} M_1^4 - 2(\gamma-1) M_1^2 - 4 \right]^{1/2} \right\} \quad (4.2)$$

The regions where solutions exist for the case $\gamma = 1.4$ and $\gamma = 1.67$, constructed from these conditions, are shown in figure 3. The lines AB and BD correspond to the condition (4.1), while the line DE corresponds to condition (4.2). The line FG divides the region of weak (to the left), and strong reflections for $\gamma = 1.4$. It is obtained from the condition (ref. 7)

$$p_2 / p_1 = 7.02 \quad (4.3)$$

It should be pointed out that according to the calculations, condition (d) is satisfied automatically within the limits of the specified region of existence.

5. If the angle of the sweptback wing is $\alpha \rightarrow 0$ while $M_0 \rightarrow \infty$, but such that $M_1 = M_0 \alpha > 1$, then equations (1.3) and (1.5) are simplified and assume the form

$$\begin{aligned} \omega_1 &= \frac{1}{2} \pi - \epsilon - \xi \\ \omega_2 &= \delta + \xi \end{aligned}$$

The resulting system of equations coincides completely with the system of equations which describe the flow around a wedge that penetrates a stationary inclined fence (fig. 4). Thus in this case the known law of plane cross section is confirmed.

During the specified transition the number of characteristic parameters is reduced to two (M_1, δ) but it is nevertheless impossible to obtain the solution in the explicit form. However when M_1 are sufficiently large so that $M_1^2 \sin^2 \epsilon \gg 1$ (i.e. when we can neglect the initial pressure p_1), the solution is substantially simplified. Indeed when

$$\delta = \omega^* = \arctan \left(\frac{\gamma + 1}{3 - \gamma} \right)^{1/2}$$

we obtain

$$\epsilon = \frac{1}{2} \pi - \omega^*, \quad \xi = 0, \quad \omega_1 = \omega_2 = \omega^*$$

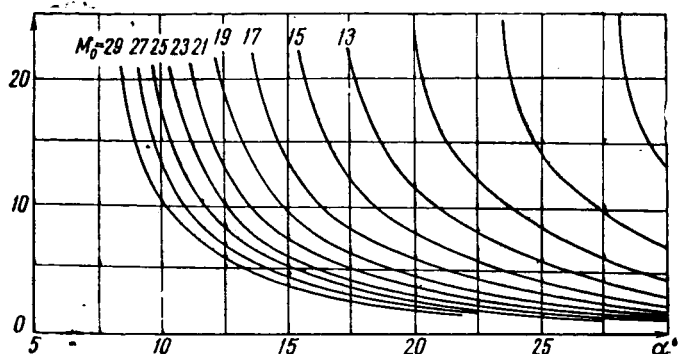


Figure 2

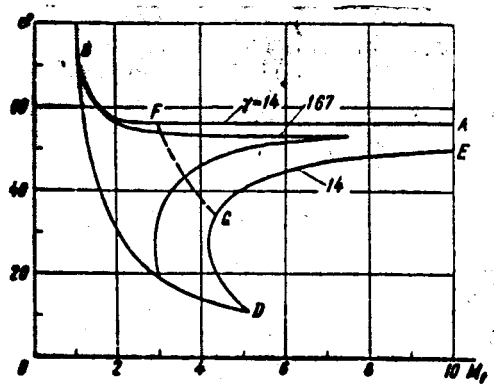


Figure 3

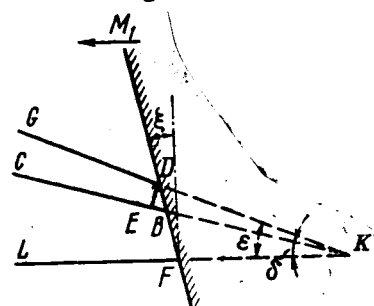


Figure 4

which corresponds to the symmetric case. When $\delta \neq \omega^*$ we can obtain the solution in the form of an expansion with respect to the symmetric case in powers of ξ , it is only necessary to write the relationship for the incident and reflected shock in the form given in reference 7.

For the first two terms of the expansion we have

$$\left. \begin{aligned} \delta &= \omega^* - \frac{(2-\gamma)(5\gamma+1)}{4\gamma(3-\gamma)} \xi, & \varepsilon &= \frac{1}{2}\pi - \omega^* - \frac{5\gamma+1}{4\gamma(3-\gamma)} \xi \\ \omega_1 &= \omega^* + \frac{4\gamma^2-7\gamma+1}{4\gamma(3-\gamma)} \xi, & \omega_2 &= \omega^* + \frac{\gamma^2+3\gamma-2}{4\gamma(3-\gamma)} \xi \\ \eta_3 &= \frac{p_3}{p_2} = \frac{3\gamma-1}{\gamma-1} + \frac{2\gamma}{\gamma-1} \left(\frac{3-\gamma}{\gamma+1} \right)^{1/2} \xi \end{aligned} \right\}$$

where p_3/p_2 is the ratio of pressures at the reflected shock.

It is of interest to compare the lift force Y_1 for the BE region of the wing (fig. 4), which adjoins the fence (taking into account the force acting on the fence), with the lift force Y_2 for the KB region of the wing when the fence is absent. It is easy to see that

$$\frac{Y_1}{Y_2} = \frac{p_s \operatorname{tg}(\varepsilon - \delta)}{p_s \cos(\delta + \varepsilon)} \left[\sin(\delta + \varepsilon) - \frac{\sin \xi}{\cos \delta} \right] \quad (5.1)$$

As a result of this, expansion in terms of ξ gives us

$$\frac{Y_1}{Y_2} = \frac{3\gamma - 1}{\gamma + 1} + \frac{1}{\gamma + 1} \left[2\gamma - \frac{(3\gamma - 1)(5\gamma + 1)}{\gamma(3 - \gamma)} \right] \left(\frac{3 - \gamma}{\gamma + 1} \right)^{1/2} \xi \setminus$$

Let us consider this solution for the case $\xi = 0$ when $\gamma \rightarrow 1$. In this case the region of increased pressure is reduced while the pressure itself increases in such a way that $Y_1/Y_2 \rightarrow 1$. Thus when $\xi = 0$, $M_1 \rightarrow \infty$ and $\gamma \rightarrow 1$, a concentrated

lift force occurs at the point where the wing is joined with the fence and this force is equal to the force which act on the cutoff section of the wing.

We note that the occurrence of a substantial concentrated lift force at the point where the wing joins the fence is difficult to explain within the framework of known Newton's theory for hypersonic flow around bodies and, apparently, is directly associated with the presence of the strong reflection of the head shock from the fence. Therefore it is of prime interest to investigate experimentally the established flows at high supersonic velocities. We note that when $\gamma > 1$ the additional forces produced by the end fence become compatible with forces acting on part of the wing cut off by the fence (fig. 5).

We should point out that during hypersonic transition the flow behind the reflected shock wave remains supersonic. Indeed when $M_1 \rightarrow \infty$ and $\xi = 0$ we have

$$M_3^2 = \frac{2}{\gamma - 1} \left[\frac{\gamma + 1}{(3\gamma - 1) \sin^2 \alpha} - 1 \right] \setminus$$

i.e., in the considered case when $\alpha \rightarrow 0$ we obtain $M_3 \rightarrow \infty$. Thus during the hypersonic transition we may assume that the strong reflection of the head shock from the fence is realized.

6. Let us evaluate the drag forces which act on the section of the wing with the fence, in a hypersonic flow.

We note that when $\alpha \rightarrow 0$ the wave drag X_w also tends to zero, while the drag of the body is determined by the force of friction. In this connection we compare the friction force X_{f1} , acting on the section of the wing with the fence

(including the friction force acting on the fence), with the friction force X_{f2} acting on the cut-off part of the wing.

To evaluate the forces of friction we use the approximate equation proposed by V. A. Dashkin, according to which the friction force is given by the following expression when the boundary layer for the plate is laminar, when $M_1 \gg 1$,

when there is strong heat exchange on the surface of the body, and also when the relationship between the coefficient of viscosity as a function of temperature $\mu \sim T^\omega$ follows an exponential law:

$$X_f = c_f F^{1/2} \rho u^2 = 1.33 \sqrt{\lambda / Rl} F^{1/2} \rho u^2, \quad \lambda \approx [(\gamma - 1) M_1^2 f(P)]^{\omega-1} \quad (6.1)$$

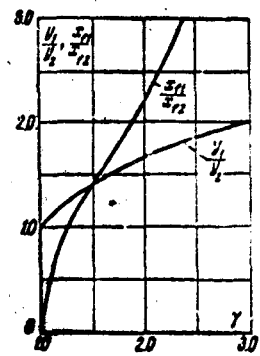


Figure 5

Here P is the Prandtl number, F is the area of the plate, ρ is the density, u is the flow velocity at the external boundary of the boundary layer, R is the Reynolds number when the length of the plate is equal to 1.

Substituting the expressions for all of the variables into equation (6.1) we obtain

$$\frac{X_{f1}}{X_{f2}} = \left(\frac{p_2}{p_1} \right)^{1/2} \operatorname{tg}(\varepsilon - \delta) \frac{1 + \sin \omega_2}{\cos \omega_2}$$

which, in an expanded form, gives us

$$\frac{X_{f1}}{X_{f2}} = \frac{\sqrt{(3\gamma-1)(\gamma-1)}}{\gamma+1} \left(1 + \frac{2}{\sqrt{3-\gamma}} \right) + \frac{1}{\sqrt{1/2}} \left[\frac{2\gamma}{\gamma+1} \left(\frac{3-\gamma}{(3\gamma-1)(\gamma+1)} \right)^{1/2} - \frac{1}{\gamma} \left(\frac{3\gamma-1}{3-\gamma} \right)^{1/2} - \frac{\gamma^2-\gamma+10}{2\gamma(3-\gamma)^2} \sqrt{3\gamma-1} \right] \xi$$

The variation in X_{fs}/X_{fs} as a function of γ when $\xi = 0$ is shown in figure

5.

The author expresses his gratitude to V. V. Struminskiy, V. V. Sychev and V. N. Zhigulov for discussing the results of the present work.

REFERENCES

1. Maykapar, G. I. O volnovom soprotivlenii neosesimmetrichnykh tel pri sverkhzvukovykh skorostyakh (On the Wave Drag of Nonaxially Symmetric Bodies at Supersonic Velocities). PMM, Vol. 23, No. 2.
2. Gonor, A. L. Tochnoye resheniye zadachi obtekeniya nekotorykh prostranstvennykh tel sverkhzvukovym potokom gaza (The Exact Solution of the Problem of Supersonic Gas Flow around Certain Three-dimensional Bodies). PMM, Vol. 28, No. 5, 1964.

3. Chernyy, G. G. *Tekheniye gaza s bol'shoy sverkhzvukovoy skorost'yu* (The Flow of Gas at a High Supersonic Velocity). Fizmatgiz, 1959.
4. Golubinskiy, A. I. *Nabeganiye udarnoy volny na klin, dvizhushchiysya so sverkhzvukovoy skorost'yu* (The Incidence of a Shock Wave on a Wedge Moving with a Supersonic Velocity). PMM, Vol. 28, No. 4, 1964.
5. Ferri, A. *Aerodinamika sverkhzvukovykh tekheniy* (The Aerodynamics of Supersonic Flows). Gostekhizdat, 1952.
6. Mises, R. *Matematicheskaya teoriya tekheniy szhimayemoy zhidkosti* (The Mathematical Theory of a Compressible Fluid Flow). Izd-vo inostr. lit., 1961.
7. Courant, G. and Fredricks, K. *Sverkhzvukovoye tekheniye i udarnyye volny* (Supersonic Flow and Shock Waves). Izd-vo inostronnoy literatury, 1950.

Translated for the National Aeronautics and Space Administration
by John F. Holman and Co. Inc.

15 A

Account

TTF-10, 485
1475-38

A66-24443 #

SOME EXACT SOLUTIONS OF THE PROBLEM OF THE HYPER-SONIC OR SUPERSONIC FLOW OF A GAS PAST A YAWING WING WITH STALL FENCE [NEKOTORYE TOCHNYE RESHENIYA ZADACHI OTEKANIA SKOL' ZASHCHIEGO KRYLA S PEREGIBOM VVERKHZVUKOVYM I GIPERZVUKOVYM POTOKOM GAZA]

A. I. Golubinskiy and A. N. Ivanov.

Akademiia Nauk SSSR, Izvestiia, Mekhanika Zhidkosti i Gaza.
Jan.-Feb. 1966. p. 13-149. 7 refs. In Russian.

Construction of a class of three-dimensional configurations representing a combination of a yawing or delta wing and a stall fence mounted on the wing parallel to the oncoming flow. It is shown that for such configurations, exact solutions for hypersonic or supersonic flow can be obtained without recourse to the small perturbation method. A solution for the flow past two intersecting yawing wings is obtained as a special case. Flow analysis reveals **strong interference at high speeds leading to much higher local pressures than in the case of an isolated wing.**

V.P.

~~THIS ABSTRACT PUBLISHED IN~~

~~INTERNATIONAL JOURNAL OF AERONAUTICS AND SPACE~~

~~SCIENCE~~

~~TECHNICAL INFORMATION REPORT~~

~~AMERICAN INSTITUTE OF AERONAUTICS AND ASTRONAUTICS~~

НЕКОТОРЫЕ ТОЧНЫЕ РЕШЕНИЯ ЗАДАЧИ ОБТЕКАНИЯ СКОМБИРОВАННОГО КРЫЛА С ПЕРЕГОРОДКОЙ СЖИГАЮЩИМ И ГИСТЕРИТИЧЕСКИМ ПОТОКОМ ГАЗА

А. Н. ГОДУНОВСКИЙ, А. Н. ИВАНОВ
(Москва)

Известно, что обтекание крыла с перегородкой в плоскости течения для крыла, установленного в потоке газа, является задачей, решаемой в аналитическом виде. В частности, для крыла, установленного в потоке газа, можно получить точные решения задачи обтекания. В частности, для крыла, установленного в потоке газа, можно получить точные решения задачи обтекания. В частности, для крыла, установленного в потоке газа, можно получить точные решения задачи обтекания.

В частности, для крыла, установленного в потоке газа, можно получить точные решения задачи обтекания. В частности, для крыла, установленного в потоке газа, можно получить точные решения задачи обтекания. В частности, для крыла, установленного в потоке газа, можно получить точные решения задачи обтекания. В частности, для крыла, установленного в потоке газа, можно получить точные решения задачи обтекания.

В частности, для крыла, установленного в потоке газа, можно получить точные решения задачи обтекания. В частности, для крыла, установленного в потоке газа, можно получить точные решения задачи обтекания. В частности, для крыла, установленного в потоке газа, можно получить точные решения задачи обтекания.

1. Рассмотрим обтекание участка трапециевидного (или треугольного) крыла, установленного в потоке газа, направленного по оси координат x .

На крыле установлена плоская перегородка ODP , параллельная набегающему потоку и наклоненная под углом ξ к оси y . Профиль крыла имеет форму клина с углом δ (по нормали к передней кромке). Угол передней кромки OA относительно направления набегающего потока обозначим через α .

Наша задача найти такие соотношения геометрических параметров α , δ , ξ и числа Маха M , потока, при которых на крыле может иметь место следующая простейшая картина обтекания: скачок уплотнения ACD , присоединенный к передней кромке, падает на перегородку ODP и, отразившись от нее, падает на поверхность поверхности крыла под прямым углом. Тогда место отклонения скачка не происходит, а всю картину течения легко рассчитать до конца при помощи известных соотношений для косых скачков уплотнения.

Обозначим нормальную к передней кромке крыла составляющую потока через

$$\gamma = \frac{M^2 \sin^2 \alpha}{1 + \gamma M^2 \sin^2 \alpha} \quad (1.1)$$

Для присоединенного скачка уплотнения имеем [8]

$$\tan^2 \frac{\theta}{2} = \frac{M^2 \sin^2 \alpha}{2 + \gamma M^2 \sin^2 \alpha} \quad (1.2)$$

где θ — угол между присоединенным скачком и плоскостью xz , γ — отношение теплоемкостей газа.

10 Механика жидкостей и газов, № 1

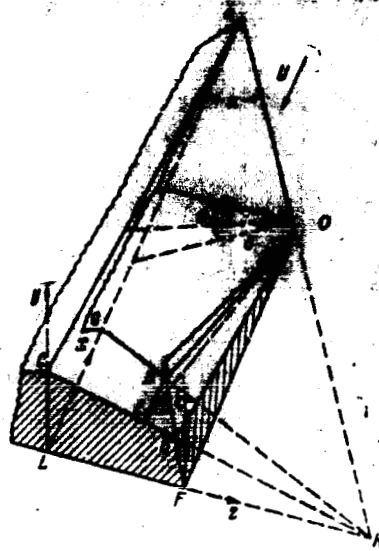


Рис. 1

ленного скачков

$$(1.3)$$

η , равную отно-

ω_2

$$-1) \quad (1.4)$$

1.4) соответствует перпендикулярности, что плоскостей (про-

$$\alpha) \quad (1.5)$$

ми M_∞ , α , δ , ε , ξ , η , геометрию тела и элемент от этих

пределить на сле-

у

$$(2.1)$$

δ_* , определяемого

$$\delta_* = \sqrt{1 - M_1^2} \quad (2.2)$$

чтобы в уравнении где δ зависит от

ения скачков, хотя

нения некоторыми

учет перегородки

области

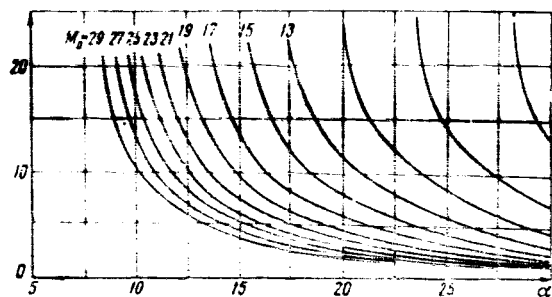
отражения скачка,

$$(3.1)$$

давления на косом

$$(3.2)$$

На фиг. 2 в качестве иллюстрации приведены зависимости $\xi = \xi(\alpha)$ при различных M_0 для случая $\gamma = 1.4$ (углы ξ , α в градусах).



Фиг. 2

4. Область существования решения в симметричном случае при независимых переменных M_1 и ε легко определить из условий (а), (б), (г) п. 2, а также на условия

$$\varepsilon \geq \arcsin \frac{1}{M_1}$$

В результате получим

$$\arcsin \frac{1}{M_1} \leq \varepsilon \leq \varepsilon_*, \quad (4.1)$$

где ε_* определяется уравнением (2.2), а также $\varepsilon \geq \arctg k_+$ или $\varepsilon \leq \arctg k_-$, где

$$k_{\pm} = \frac{1}{(\gamma-1)M_1^2 + 2} \left\{ \frac{(\gamma-1)}{2} \sqrt{3-\gamma} M_1^2 \pm \left[\frac{(\gamma-1)^2(\gamma+1)}{4(3-\gamma)} M_1^4 - 2(\gamma-1)M_1^2 - 4 \right]^{1/2} \right\} \quad (4.2)$$

Построение по этим условиям области существования решения в симметричном

случае для $\gamma = 1.4$ и $\gamma = 1.67$ приведены на фиг. 3. Линии AB и BD соответствуют условию (4.1), линия DE — условию (4.2). Линия FG разделяет область слабого (слева) и сильного отражения для $\gamma = 1.4$. Она находится на условии [3]

$$p_2/p_1 = 7.02 \quad (4.3)$$

Следует отметить, что, согласно расчетам, в пределах рассматриваемой области существования условия (4.2) выполняются автоматически.

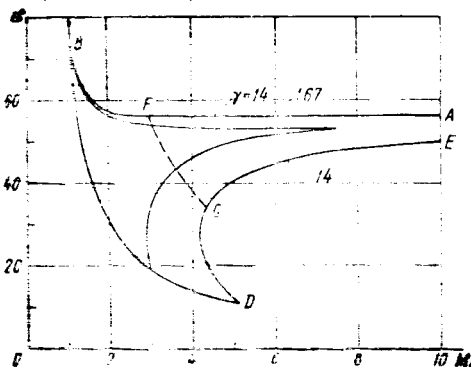
2. Если угол скольжения $\alpha \rightarrow 0$, а $M_\infty \rightarrow \infty$, то так, что $M_1 \rightarrow M_0 \gg 1$, то уравнения (1.2) и (1.3) принимают вид

$$\omega_1 = \frac{1}{2} \pi - \varepsilon - \delta$$

$$\omega_2 = \delta - \frac{\pi}{2}$$

Получившаяся в результате система уравнений полностью совпадает с системой уравнений, описывающих обтекание клина, принимающего заданную наклонную стенку (фиг. 4). Таким образом, в данном случае подтверждается известный закон подобия (см. [1]).

При угле $\alpha \rightarrow 0$ рассматриваемая область существования решения сжимается до двух (M_1, ε), тем не менее, область существования решения остается в том же виде. Однако



Фиг. 3

при достаточно больших M_1 , таких, что $M_1^2 \sin^2 \alpha \gg 1$ (т. е. когда можно пренебречь начальным давлением p_1), решение существенно упрощается. Действительно, при

$$\delta = \alpha^* = \arccos \left(\frac{\gamma+1}{3-\gamma} \right)^{1/2}$$

получаем

$$\alpha = 1/2 \pi - \alpha^*, \quad \xi = 0, \quad \alpha_1 = \alpha_2 = \alpha^*$$

что соответствует симметричному случаю. Для $\delta \neq \alpha^*$ можно получить решение в виде разложения симметричного симметричного случая по соотношению ξ , учитывая только значения соотношения для набегающего и отраженного потока в форме [7].

Для первых двух членов разложения имеем

$$\begin{aligned} \delta = \alpha^* - \frac{(2-\gamma)(5\gamma+1)}{4\gamma(3-\gamma)} \xi, \quad \alpha = 1/2 \pi - \alpha^* - \frac{5\gamma+1}{4\gamma(3-\gamma)} \xi \\ \alpha_1 = \alpha^* + \frac{4\gamma^2 - 7\gamma + 1}{4\gamma(3-\gamma)} \xi, \quad \alpha_2 = \alpha^* + \frac{\gamma^2 + 3\gamma - 2}{4\gamma(3-\gamma)} \xi \\ \eta_1 = \frac{p_1}{p_2} = \frac{3\gamma-1}{\gamma-1} + \frac{2\gamma}{\gamma-1} \left(\frac{3-\gamma}{\gamma+1} \right)^{1/2} \xi \end{aligned}$$

где p_1/p_2 — отношение давлений на отраженном скачке.

Представляет интерес сравнить подъемную силу Y_1 для участка крыла BE (фиг. 4), прилегающего к перегородке (учитывая и силы, действующие на перегородку), с подъемной силой Y_2 для участка крыла KB при отсутствии перегородки. Нетрудно видеть, что

$$\frac{Y_1}{Y_2} = \frac{p_1 \sin(\delta + \alpha)}{p_2 \cos(\delta + \alpha)} \left[\sin(\delta + \alpha) - \frac{\sin \xi}{\cos \delta} \right] \quad (5.1)$$

Это при разложении по ξ дает

$$\frac{Y_1}{Y_2} = \frac{3\gamma-1}{\gamma+1} + \frac{1}{\gamma+1} \left[2\gamma - \frac{(3\gamma-1)(5\gamma+1)}{\gamma(3-\gamma)} \right] \left(\frac{3-\gamma}{\gamma+1} \right)^{1/2} \xi$$

Рассмотрим это решение при $\xi = 0$, когда $\gamma \rightarrow 1$. В этом случае область повышенного давления сужается, а само давление растет так, что $Y_1/Y_2 \rightarrow 1$. Таким образом, при $\xi = 0$, $M_1 \rightarrow \infty$ и $\gamma \rightarrow 1$ в месте сопряжения крыла с перегородкой возникает сосредоточенная подъемная сила, равная силе, действующей на отстоящий участок крыла.

Оценим, что повышение значительной сосредоточенной подъемной силы в месте сопряжения крыла с перегородкой трудно объяснить в рамках известной аэродинамической теории для гиперзвукового обтекания течения, но-видимому, непосредственно связано с наличием сильного отраженного скачка от перегородки. Поэтому представляет наибольший интерес исследование влияния повышенных значений течения при больших сверхзвуковых скоростях. Заметим, что при значениях $\gamma > 1$ дополнительные силы, создаваемые скачком в перегородке, оказываются сопоставимыми с силами, действующими на отстоящую перегородочную часть крыла (фиг. 5).

Следует отметить, что при гиперзвуковом обтекании поток на отраженной ударной волне имеет скачок скорости. Действительно, при $M_1 \rightarrow \infty$ для $\xi = 0$

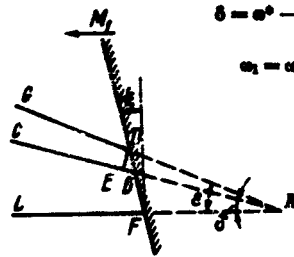
$$\frac{u_1}{u_2} = \frac{1}{\gamma+1} \left(\frac{3-\gamma}{\gamma+1} \right)^{1/2} \xi$$

то есть ударная волна преломляется, при этом скачок скорости, который имеет место, равен

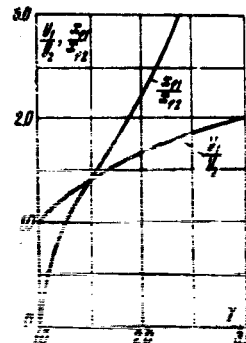
$\Delta u = u_1 - u_2 = \frac{1}{\gamma+1} \left(\frac{3-\gamma}{\gamma+1} \right)^{1/2} \xi u_2$

Следует отметить, что при гиперзвуковом обтекании течения на отстоящем участке крыла скачок скорости равен

$\Delta u = u_1 - u_2 = \frac{1}{\gamma+1} \left(\frac{3-\gamma}{\gamma+1} \right)^{1/2} \xi u_2$



Фиг. 4



Фиг. 5

трения X , действующую крыла.

Для $M_1 > 1$ и мости коэф

$X_1 =$

Здесь росте лоте пластично, Подот нетрудно

что в раз

$$+ \frac{1}{\gamma+1}$$

Завис Автор суждение

1. М а з и
2. Г о л о
3. Ч е р
4. Г о л о
5. Ф е р
6. М а з
7. К у р

трения X_{11} , действующую на участок крыла с перегородкой (включая и силу трения, действующую на перегородку), с силой трения X_{12} , действующей на отстоящую часть крыла.

Для оценки сил трения воспользуемся приближенной формулой, предложенной В. А. Беттингем, согласно которой для пластины при ламинарном пограничном слое, $M_1 \gg 1$ и сильном теплообмене на поверхности тела, а также при степенной зависимости коэффициента вязкости от температуры $\mu \sim T^m$ сила трения равна

$$X_1 = c_1 F^{1/2} \rho \mu^2 = 1.33 \sqrt{\lambda / Rl} F^{1/2} \rho \mu^2, \quad \lambda \approx [(\gamma - 1) M_1^2 (P)]^{m-1} \quad (6.1)$$

Здесь P — число Прандтля, F — площадь пластины, ρ — плотность, m — показатель степени на внешней границе пограничного слоя, R — число Рейнольдса при длине пластины, равной l .

Подставляя в уравнение (6.1) выражения для всех входящих в него параметров, нетрудно получить

$$\frac{X_{11}}{X_{12}} = \left(\frac{P_1}{P_2} \right)^{1/2} \frac{1 + \sin \alpha_2}{\sin \alpha_2}$$

что в рассуждениях дает

$$\frac{X_{11}}{X_{12}} = \frac{\sqrt{(\gamma-1)(\gamma+1)}}{\gamma+1} \left(1 + \frac{2}{\sqrt{\gamma-1}} \right) + \frac{1}{\sqrt{\gamma}} \left[\frac{2\gamma}{\gamma+1} \left(\frac{\gamma-1}{(\gamma+1)(\gamma+1)} \right)^{1/2} - \frac{1}{\gamma} \left(\frac{\gamma-1}{\gamma+1} \right)^{1/2} - \frac{\gamma-1+10}{2(\gamma-1)^2} \sqrt{\gamma-1} \right];$$

Заменив X_{11}/X_{12} от γ при $\xi = 0$ значением на фиг. 5.

Авторы благодарят В. В. Овчинникова, В. В. Савина и В. Н. Жигуля за обсуждение результатов настоящей работы.

Получено 10 VII 1965

ЛИТЕРАТУРА

1. Мельниченко Г. И. О вихревых сопротивлении несимметричным тел при сверхзвуковых скоростях. ПММ, т. 23, вып. 2.
2. Голубев М. Точное решение задачи обтекания клиновидных пространственных тел сверхзвуковым потоком газа. ПММ, 1964, т. 23, вып. 5.
3. Ченг И. Г. Течение газа с большой сверхзвуковой скоростью. Олимпия, 1959.
4. Голубев М. М. Вихревые сопротивления тел при сверхзвуковом течении. ПММ, т. 23, вып. 4.
5. Мельниченко Г. И. Вихревые сопротивления тел при сверхзвуковом течении. ПММ, т. 23, вып. 4.
6. Мельниченко Г. И. Вихревые сопротивления тел при сверхзвуковом течении. ПММ, т. 23, вып. 4.
7. Мельниченко Г. И. Вихревые сопротивления тел при сверхзвуковом течении. ПММ, т. 23, вып. 4.
8. Мельниченко Г. И. Вихревые сопротивления тел при сверхзвуковом течении. ПММ, т. 23, вып. 4.
9. Мельниченко Г. И. Вихревые сопротивления тел при сверхзвуковом течении. ПММ, т. 23, вып. 4.
10. Мельниченко Г. И. Вихревые сопротивления тел при сверхзвуковом течении. ПММ, т. 23, вып. 4.

о пренебречь
тепловыми, при

материал в виде
одной только

$$\frac{1}{\gamma} \left(\frac{\gamma-1}{\gamma+1} \right)^{1/2}$$

$$\frac{-2\gamma-2}{(\gamma-1)^2}$$

и

на ограниченном

ть податливую
4), пружинно-
и силы, дейст-
вующей силой Y_2
тотчас перепо-

$$\frac{1}{\gamma} \left(\frac{\gamma-1}{\gamma+1} \right)^{1/2} \quad (5.1)$$

и

объемная плотность
и температура
внутри тела